

## بررسی تجربی افزایش نسبت تبخیر آب با استفاده از

### الکترود سوزنی به روش الکتروهیدرودینامیکی

در مقاله حاضر تاثیر پارامترهای مختلفی نظیر سرعت جریان هوای محوری، فواصل الکترودی، ولتاژ الکتریکی و شدت جریان الکتریکی بر نسبت تبخیر در حضور میدان الکتریکی مورد بررسی و مقایسه قرار گرفته است. آزمایش‌ها با پلاریته مثبت و فواصل الکترودی ۳، ۲ و  $4\text{ cm}$  و با سرعت‌های  $۰, ۲۵, ۱, ۰۰$  و  $۱, ۷۵ \text{ m/s}$  انجام گرفتند. اعمال میدان الکتریکی بین الکترودهای سوزنی و صفحه‌ای با تشکیل پلاسما حول الکترود سوزنی موجب حرکت توده هوا (باد کرونا) می‌گردد. برخورد باد به سطح آب و ایجاد اختشاش در لایه هوای اشباع مجاور سطح آب، افزایش آهنگ تبخیر را به دنبال دارد. به منظور بررسی تاثیر هر یک از متغیرهای فوق بر روی میزان بهبود تبخیر دو آزمایش، یکی در حضور و دیگری بدون اعمال میدان الکتریکی انجام شد. طبق نتایج به دست آمده با افزایش سرعت جریان هوای محوری از  $۰, ۲۵ \text{ m/s}$  به  $۱, ۷۵ \text{ m/s}$  ثابت  $۲\text{ cm}$ ،  $۱, ۸۸\text{e}^6$  درصد میزان تبخیر را افزایش می‌دهد. در انتهای به کمک برآذش داده‌های آزمایشگاهی، روابطی ارائه شده است که در محدوده ولتاژ شروع کرونا تا ولتاژ شکست صادق می‌باشند.

**مجتبی پناهی<sup>۱</sup>**

دانشجوی کارشناسی ارشد

**علی اکبر عالم رجبی<sup>۲</sup>**

دانشیار

**واژه‌های راهنمایی:** الکتروهیدرودینامیک<sup>۳</sup>، بهبود تبخیر، باد کرونا<sup>۴</sup>، میدان الکتریکی

### ۱- مقدمه

انتقال جرم و تبخیر آب از یک سطح مرطوب در نتیجه اختلاف غلظت بخار آب در مجاورت سطح با هوای بالای آن صورت می‌گیرد. همواره لایه نازکی از هوای اشباع به عنوان مانعی در برابر تبخیر روی سطح مرطوب را پوشانده است. در صورتی که هوای بالای سطح ساکن باشد فرآیند تبخیر توسط پخش ذرات بخار آب در داخل هوا صورت می‌گیرد. از این رو تبخیر در حالت طبیعی به کندی صورت می‌گیرد. علاوه بر افزایش دمای جسم مرطوب هر روش دیگری که بتواند موجب ایجاد اختشاش در لایه اشباع مجاور سطح گردد با افزایش اختلاف غلظت بخار بین هوای مجاور سطح و توده هوای بالای آن منجر به افزایش نرخ تبخیر می‌گردد. روش‌های رایج برای افزایش تبخیر عموماً شامل استفاده از جریان هوایی با درجه حرارت بالا یا گرمایش تابشی هستند که به دلیل مصرف بالای انرژی بازده کمی دارند. یکی از روش‌های نوین در این

<sup>۱</sup> نویسنده مسئول، دانشجوی کارشناسی ارشد، دانشکده مهندسی مکانیک، دانشگاه صنعتی اصفهان [m.panahi@me.iut.ac.ir](mailto:m.panahi@me.iut.ac.ir)

<sup>۲</sup> دانشیار، دانشکده مهندسی مکانیک، دانشگاه صنعتی اصفهان [rajabi@cc.iut.ac.ir](mailto:rajabi@cc.iut.ac.ir)

<sup>3</sup> Electrohydrodynamics

<sup>4</sup> Corona Wind

زمینه استفاده از میدان الکتریکی قوی است. اعمال میدان الکتریکی قوی در هوای مجاور سطح موجب ایجاد باد یونی (جريان ثانویه) و بر هم زدن لایه اشباع مجاور سطح می‌گردد که افزایش آهنگ تبخیر را به همراه دارد. از آنجا که اعمال میدان الکتریکی موجب ایجاد حرک و پویاسازی سیال می‌گردد، این روش را روش الکتروهیدرودینامیکی می‌نامند. اولین استفاده از کرونا برای روبش ذرات غبار به هولند [۱۸۲۴] نسبت داده می‌شود. اکنون این تصفیه کننده‌ها کاملاً به صورت صنعتی در آمده و شرکت‌های نیروگاهی بزرگی همچون آلستوم و زیمنس برای کاهش آلودگی گاز خروجی از دودکش‌های صنعتی این محصول را در انواع مختلف تولید و نصب می‌نمایند [۱ و ۲]. نیروی الکتروهیدرودینامیک در حالت کلی شامل سه جزء اصلی است که توسط رابطه (۱) بیان می‌گردد [۳].

$$F_e = \rho_e E - \frac{1}{2} E^2 \nabla \varepsilon + \frac{1}{2} \nabla \left[ E^2 \rho \left( \frac{\partial \varepsilon}{\partial \rho} \right) \right] \quad (1)$$

اولین عبارت در سمت راست این رابطه نیروی حجمی الکتروفورتیک یا کولمب است که از طرف میدان الکتریکی بر بارهای آزاد وارد می‌شود و موجب حرکت آنها می‌گردد. میزان این نیرو با چگالی بارهای الکتریکی موجود در سیال ( $\rho_e$ ) و شدت میدان الکتریکی (E) متناسب است. نیروی دوم با تغییر ضریب نفوذپذیری الکتریکی (۷۴) ایجاد می‌شود. تغییرات چگالی و دمای سیال از عواملی هستند که می‌توانند موجب تغییر ضریب نفوذپذیری الکتریکی گردد [۴-۵]. نیروی سوم ناشی از تغییرات شدت میدان الکتریکی در فضای بین دو الکترود و همچنین تغییرات ضریب نفوذپذیری الکتریکی است. در انتقال حرارت تک فازی و تشدید تبخیر نیروی کولمب نقش اصلی را ایفا می‌کند در حالی که سایر نیروها در جریان‌های دو فازی حائز اهمیت هستند. سادک [۶] برای جلوگیری از تجمع جباب گازهای غیر قابل چگالش در سطح مشترک بخار و مایع استفاده کرد. و همچنین باتری موز [۷]، برای تقویت چگالش خارجی مبرد در دمای اشباع را بر روی لوله پرهدار افقی بررسی قرار داد و گزارش کرد که به کارگیری روش الکتروهیدرودینامیک ضریب انتقال گرما را از ۲۷ تا ۱۱۰٪، متناسب با ولتاژ اعمالی افزایش داد و در تحقیقات دیگر این نکته ابراز شد که با اعمال میدان و افزایش آن نرخ چگالش به طور قابل ملاحظه‌ای افزایش می‌یابد و رژیم جریان تغییر می‌کند [۸-۱۴]. در پژوهش تجربی دیگر مورؤ [۱۵] قابلیت باد یونی در کنترل جریان بر روی یک صفحه تخت مورد بررسی قرار داد و نتایج آن حاکی از افزایش سرعت باد یونی با افزایش جریان الکتریکی و کاهش نیروی پسا به میزان ۳۰٪ می‌باشد.

شایان ذکر است که در زمینه به کارگیری از روش الکتروهیدرودینامیکی به منظور بهبود انتقال جرم تحقیقات زیادی با استفاده آرایش‌های مختلف الکترودی انجام گرفته است [۱۶-۱۹]. در این زمینه می‌توان به پژوهش کامکاری و عالم رجی [۲۰] که به بررسی اثر عوامل تاثیر گذار بر افزایش نرخ انتقال جرم مانند قطر و پلاریته الکترود سیمی، فوائل الکترودی و سرعت جریان هوای محوری پرداختند، اشاره کرد. آنها در پژوهش خود گزارش کردند که افزایش فاصله الکترودها موجب به تاخیر افتادن ولتاژ شروع کرونا و ولتاژ شکست می‌شود و از شدت جریان کرونای شکست کاسته می‌شود و همچنین در فوائل الکترودی کمتر از ۵ cm به ازای مصرف توان الکتریکی یکسان، پلاریته منفی، افزایش تبخیر بیشتری را نسبت به پلاریته

مثبت نشان می دهد. و در پژوهشی دیگر دارابی [۲۱] که نسبت تبخیر تبخیر ۴ تا ۸/۵ برابری را برای آب به روش الکتروهیدرودینامیکی گزارش کرد. بارتاکور [۲۲] هم در آزمایشی اقدام به بررسی قابلیت باد یونی در افزایش نرخ تبخیر محلول پتاسیم کلرید (KCl) در آب توسط الکترود سوزنی نمود و نسبت تبخیر برای شار مثبت ۲/۵ و برای شار منفی ۳/۵ برابر نسبت به حالت عدم اعمال میدان الکتریکی را گزارش کرد و لای و شارما [۲۳] هم برای نسبت تبخیر تبخیر آب از طرف حاوی گلوله های شیشه ای تنها با اعمال میدان الکتریکی توسط الکترود سوزنی به قطر ۰/۰۹ cm و در ارتفاع ۲/۵۴ cm از سطح آب حداقل بهبود تبخیر ۱/۳۸۹۲ در سرعت هوای محوری m/s ۱/۰۰ گزارش شد و با اعمال همزمان میدان الکتریکی و جریان هوای محوری با سرعت ۲/۸ m/s تاثیر محسوسی گزارش نشد. در مقاله حاضر هدف بررسی تاثیر اعمال کرونا مثبت در سرعت های هوای محوری و همچنین در فوائل الکترودی مختلف بر چگونگی نسبت تبخیر به روش الکتروهیدرودینامیک می باشد.

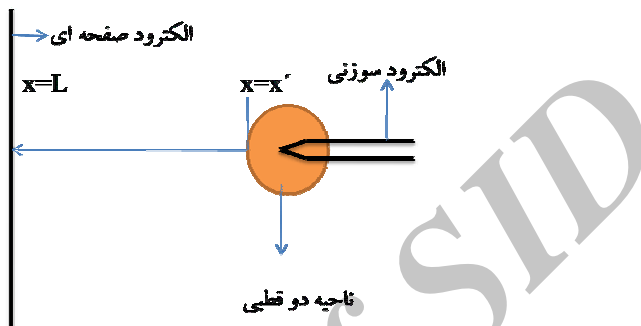
## ۲- باد کرونا

از آنجا که هدف اصلی در مقاله حاضر بررسی تاثیر اعمال باد کرونا مثبت در سرعت های مختلف هوای محوری بر میزان نسبت تبخیر است، در ادامه چگونگی تشکیل باد کرونا به اختصار شرح داده می شود. در الکتریسیته، تخلیه کرونا یک تخلیه الکتریکی موضوعی است که به همراه یونیزاسیون هوا در مجاورت الکترودی با شعاع انحنای کوچک و ولتاژ بالا رخ می دهد. برای تخلیه کرونا معمولاً از دو الکترود، یکی با شعاع انحنای کوچک و دیگری با شعاع انحنای بزرگ مانند الکترود سوزنی و صفحه استفاده می شود. شعاع انحنای کوچک تضمین کننده تغییرات شدید پتانسیل الکتریکی در اطراف الکترود است. یونیزه شدن هوای مجاور الکترود به صورت ظاهری قطر الکترود را افزایش می دهد. بدین ترتیب به شعاع انحنای الکترود افزوده شده و پیش روی فرآیند یونیزاسیون متوقف می شود. در خارج این ناحیه ذرات باردار خود را به الکترود مقابله رسانده و خنثی می شوند. ذرات باردار در مسیر حرکت خود به سمت الکترود مقابله با مولکول های خنثای هوا برخورد کرده و با تبادل ممنoton، جریانی از توده هوا را به نام باد کرونا ایجاد می کنند. ولتاژ اعمالی به الکترود با شعاع انحنای کوچک تعیین کننده نوع کرونا می باشد اگر الکترود نازک دارای پتانسیل مثبت باشد، تخلیه کرونا مثبت و اگر منفی باشد تخلیه کرونا منفی نامیده می شود. فیزیک کرونا مثبت و منفی هر چند در کلیات مشابه هستند ولی در جزئیات متفاوتند و به دلیل متفاوت بودن قابلیت تحرک یونی یونهای مثبت و منفی بادهای یونی تشکیل شده نیز متفاوت هستند. کرونا مثبت به همراه هاله ای از نور آبی رنگ پیوسته در اطراف الکترود مشخص می شود که به دلیل تشکیل پلاسمای اطراف آن است. با یک هندسه و ولتاژ مشخص، ابعاد این ناحیه نورانی اندکی کوچکتر از مورد مشابه آن در کرونا منفی است. تعداد الکترون ها در کرونا مثبت نسبت به کرونا منفی کمتر است ولی به دلیل حرکت الکترون ها به سمت الکترود ظریف یعنی ناحیه با میدان الکتریکی قویتر، انرژی آنها بیشتر است [۲۴].

فرض می کنیم سوزن، قطب مثبت و صفحه، قطب منفی باشد (شکل ۱). در اطراف سوزن اولین یونیزاسیون به وجود می آید. الکترون های به وجود آمده سریعاً جذب آند (سوزن) می شوند در حالی که یون های که از تحرک کمتری برخوردارند تقریباً در محل خود باقی می مانند و در آنجا تجمعی نسبی از یون های

مثبت به وجود می‌آید. در نتیجه‌ی میدان حاصل از این بارها شدت میدان الکتریکی در اطراف سوزن کاهش می‌یابد، در حالی که شدت میدان الکتریکی در ناحیه‌ی وسط سوزن و صفحه بیشتر می‌شود. به عبارت دیگر میدان الکتریکی یکنواخت‌تر می‌شود [۲۵]. ابتدا توزیع میدان الکتریکی ( $E$ ) ناشی از حضور بارهای آزاد را در فضای بین دو الکترود به دست می‌آوریم [۲۶].

$$E^2 - E_0^2 = \frac{I(x - x_0)}{Ab\epsilon_0} \quad (2)$$



شکل ۱- نمایش ناحیه دو قطبی اطراف الکترود سوزنی

در این رابطه  $E_0$  شدت میدان بین دو الکترود،  $A$  مساحت الکترود صفحه‌ای،  $b$  قابلیت حرکت یونی که برای یون‌های مثبت و منفی،  $x_0$  فاصله بین الکترودها و  $I$  شدت جریان بین دو الکترود می‌باشد. به کمک قوانین بقای انرژی و معادله گوس می‌توان رابطه بین سرعت باد یونی و میدان الکتریکی را به دست آورد.

$$\begin{cases} \rho_g U_e^2 = \int_{x=x_0}^{x=L} \rho_e E dx \\ \nabla \cdot E = \frac{\rho_e}{\epsilon_0} \end{cases} \Rightarrow U_e = \sqrt{\frac{\epsilon_0 (E^2 - E_0^2)}{\rho_g}} \quad (3)$$

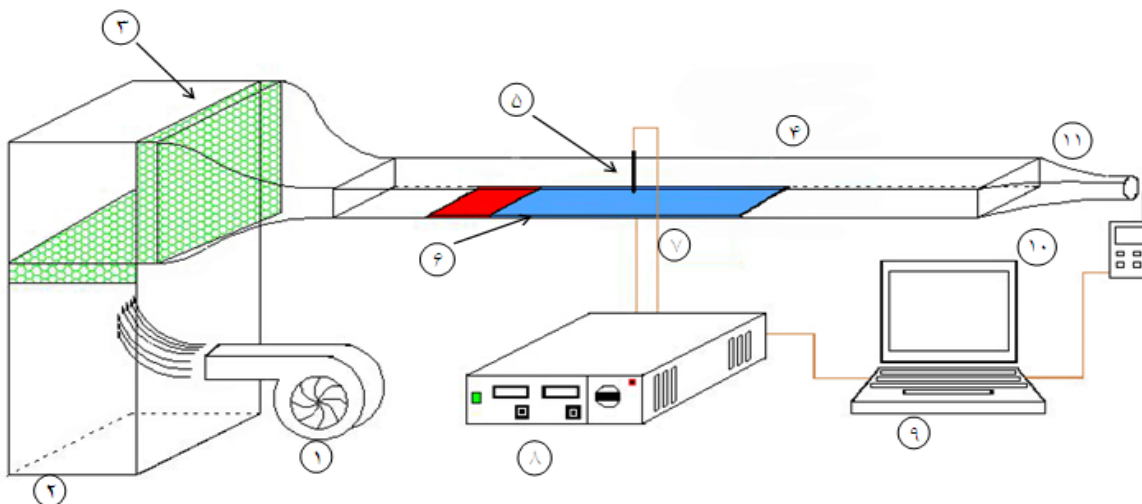
نهایتاً با جایگذاری رابطه (۲) در (۳) و صرف نظر کردن از  $x_0$  در برابر  $L$ ، سرعت باد یونی بر حسب جریان الکتریکی به دست می‌آید.

$$U_e = \sqrt{\frac{IL}{\rho_g Ab}} \quad (4)$$

در استخراج رابطه فوق دیده می‌شود که می‌توان میدان الکتریکی متوسط اولیه بین الکترود سوزنی و صفحه‌ای برابر میدان الکتریکی با فاصله  $L$  و اختلاف پتانسیل  $V$  است و با حل معادلات الکتریکی و به کمک قانون بقای انرژی تخمینی از سرعت باد یونی در زیر الکترود سوزنی به دست می‌آید. [۲۷].

### ۳- دستگاه آزمایش و روند انجام آزمایش‌ها

اجزای دستگاه اصلی آزمایش (شکل ۲) شامل منبع تغذیه با قابلیت تنظیم ولتاژ ، دماسنچ-رطوبت‌سنج دیجیتال، سرعت‌سنج دیجیتال مجهر به پراب پروانه‌ای، جعبه هوا، فن دمنده با قابلیت تنظیم میزان هوای خروجی است.[۲۷]



شکل ۲ - نمایی از دستگاه آزمایشگاهی ۱- فن ۲- جعبه هوا ۳- صفحات لانه زنبوری ۴- اتفاک تست ۵- الکترود سوزنی ۶- الکترود صفحه‌ای ۷- ظرف آب ۸- منبع تغذیه ۹- کامپیووتر ۱۰- دماسنچ-رطوبت سنج دیجیتال ۱۱- شیبوره همگرا

به منظور هدایت جریان هوا بر روی سطح آب، از اتفاک تست به شکل مکعب مستطیل و از جنس پلکسی گلاس با ابعاد  $184 \times 20 \times 5/9$  سانتی‌متر استفاده شد و حوضچه آبی که سطح زیرین آن با صفحه مسی پوشانده شده در کف آن قرار داده شده است. صفحه مسی به عنوان یکی از الکترودها به کار می‌رود که لایه آب به ضخامت ۱ cm را می‌پوشاند و الکترود دیگریک سوزن به قطر ۱ mm از جنس فولاد زنگنزن (با روکش مسی) می‌باشد که به طور عمود بر صفحه مسی در بالای سطح آب با قابلیت تنظیم ارتفاع در فواصل الکترودی ۲، ۳ و ۴ cm قرار می‌گیرد. هوای محیط توسط فن به درون جعبه هوا هدایت می‌شود. به منظور به حداقل رساندن اغتشاشات، در داخل جعبه هوا دو سری صفحات لانه زنبوری تعییه گردیده است. جریان هوا در سرعت‌های  $0/25$ ،  $0/100$  و  $1/75$  m/s پس از عبور از جعبه هوا با سرعت یکنواخت وارد تونل می‌شود و با گذشتן از روی سطح آب از انتهای دیگر آن خارج می‌شود. به منظور افزایش دقت در اندازه‌گیری سرعت هوا، درون تونل از کanalی همگرا که مقطع خروجی آن قطری برابر قطر پراب پروانه‌ای (6cm) دارد استفاده شده است.

پیکربندی الکترودهای مورد استفاده در این تحقیق سوزن و صفحه می‌باشند. الکترود صفحه‌ای با ضخامت  $0/2$  mm و ابعاد  $20 \times 70$  cm در کف مخزن آب قرار گرفته و اتصال الکتریکی زمین به آن با ایجاد سوراخی در کف کanal و عبور سیم انجام شد. لبه‌های الکترود صفحه‌ای با نواری عایق پوشانده شدند چراکه لبه‌های تیز مرکز تجمع بار بوده، موجب تقویت میدان الکتریکی به صورت موضعی می‌شوند. الکترودهای سوزنی مورد استفاده دارای قطر ۱۳ cm با طول ۱ cm هستند. برای اختلاط و یکنواخت شدن رطوبت هوا در خروجی از یک اوریفیس چوبی با سوراخی بیضوی با قطرهای  $3/5$  cm و  $5/3$  cm استفاده شده است.

اوریفیس در داخل کanal و به فاصله ۲۰ cm از خروجی و ۳۵ cm از حوضچه آب قرار گرفته است. رطوبت جریان هوا پس از عبور از اوریفیس با دقت بسیار خوبی همگن گردید. به منظور اعمال میدان الکتریکی و اندازه‌گیری جریان و ولتاژ از یک منبع تغذیه ولتاژ بالا با حداکثر توان خروجی W ۲۰۰ ساخت شرکت Heinzinger مدل PCN 4000-5 استفاده شد. حداکثر ولتاژ و جریان خروجی از دستگاه به ترتیب kV ۴۰ و mA ۵ است. برای اندازه‌گیری سرعت هوا در خروجی تونل باد از یک سرعت سنج دیجیتال (Testo 435) استفاده می‌شود. اندازه‌گیری دما و رطوبت نسبی در ورودی و خروجی کanal توسط یک دماسنج- رطوبت سنج دیجیتال با قابلیت اتصال به کامپیوتر (Testo-177H1) انجام می‌گیرد. در ابتدا و قبل از شروع آزمایش ظرف آب تا ارتفاع ۱ cm از آب پر شده، سپس دمنده روشن می‌شود. دماسنج دیجیتال در ورودی کanal قرار می‌گیرد. ابتدا ولتاژ و جریان نمایان شده بر روی نمایشگرها صفر می‌باشند. ولتاژ افزایش داده می‌شود تا نمایشگر جریان عدد mA ۰/۰۱ (حداقل جریان قابل اندازه‌گیری) را نشان دهد. پس از ثابت شدن جریان و ولتاژ مقادیر رطوبت نسبی و دما در ورودی و خروجی کanal اندازه‌گیری شده و به همراه مقادیر ولتاژ و جریان ثبت می‌شوند. در این آزمایشها که با الکترود سوزنی انجام می‌شود، جریان تولیدی بسیار مهم است و لذا برای دقت در آزمایشها جریان در ابتدا به گام mA ۰/۰۱ افزایش داده می‌شود وقتی ولتاژ به اندازه کافی بالا رفت جریان را با گام mA ۰/۰۲ بالا می‌بریم. افزایش ولتاژ تا زمانی که تخلیه الکتریکی بین دو الکترود یا همان ولتاژ شکست صورت گیرد ادامه می‌یابد.

#### ۴- روابط حاکم و معادلات

با معلوم بودن دما و رطوبت نسبی در ورودی و خروجی تونل باد، مقادیر رطوبت مخصوص در این مقاطع قابل محاسبه است.

$$\omega = 0.662 \frac{\phi \cdot P_g}{P - \phi \cdot P_g} \quad (5)$$

$\phi$  بیانگر رطوبت نسبی است که با رطوبت سنج دیجیتال سنجیده می‌شود.  $P$  فشار اتمسفریک و  $P_g$  فشار بخار اشباع است.

میزان نرخ تبخیر بر مبنای تغییرات رطوبت مخصوص در ورودی و خروجی کanal بروش زیر تعیین می‌شود.

$$\dot{m}_{eva} (\text{kg}_w / \text{s}) = \dot{m}_{dryair} \times (\omega_2 - \omega_1) \quad (6)$$

با معلوم بودن مقادیر سرعت و مساحت مقطع کanal، دبی جرمی هوای ورودی به کanal برابر است با :

$$\dot{m}_{dryair} (\text{kg}_a / \text{s}) = \rho_{dryair} \times U \times A \quad (7)$$

به منظور ارائه نتایج به صورت جامع از عدد بی بعد شروود استفاده شده است. عدد شروود در انتقال جرم معادل عدد ناسلت در انتقال حرارت است و به صورت زیر تعریف می‌شود.

$$Sh = \frac{h_m \cdot D_L}{D_f} = \left( \frac{\dot{m}_{eva}}{A \cdot \Delta C} \right) \frac{D_L}{D_f} \quad (8)$$

طول مشخصه (طول ظرف)،  $A$  مساحت مقطع کanal،  $D_f$  ضریب پخش مولکول‌های آب در هوا است. ضریب پخش مولکول‌های آب در هوا به صورت تابعی از دما و فشار توسط رابطه زیر ارائه می‌شود [۲۸].

$$D_f (m^2 / s) = 2.26 \times 10^{-5} \left( \frac{101325}{P} \right) \left( \frac{T}{273.15} \right) \quad (9)$$

از آنجا که پخش بخار آب از لایه اشباع روی سطح آب به درون توده هوا صورت می‌گیرد بهتر است دمای  $T$  در رابطه فوق برابر میانگین دمای حباب تر و دمای توده هوای بالای سطح در نظر گرفته شود:

$$T (K) = \left[ \frac{WBT + \left( \frac{DBT_1 + DBT_2}{2} \right)}{2} \right] + 273.15 \quad (10)$$

نتایج را نیز می‌توان بر حسب عدد بی بعد الکتروهیدرودینامیک ارائه کرد. عدد الکتروهیدرودینامیک به صورت سرعت باد یونی ( $U_e$ ) به سرعت جریان هوای محوری ( $U$ ) تعریف می‌شود.

$$N_{EHD} = \frac{U_e}{U} = \sqrt{\frac{IL}{\rho_{hu} A_e b}} \quad (11)$$

در این رابطه  $I$ ،  $L$  و  $b$  به ترتیب بیانگر شدت جریان بین دو الکترود، فاصله بین الکترودها، چگالی هوای مرتبط و قابلیت تحرک یونی می‌باشد. توان الکتریکی مصرفی به صورت حاصلضرب ولتاژ اعمالی در شدت جریان بین دو الکترود بدست می‌آید.

$$Power = V \times I \quad (12)$$

عدد رینولدز الکتروهیدرودینامیک به صورت رابطه زیر تعریف می‌شود.

$$Re_{EHD} = \frac{U_e d}{v} = \left[ \sqrt{\frac{IL}{\rho_{hu} A_e b}} \right] \frac{d}{v} \quad (13)$$

در رابطه فوق  $v$  و  $d$  به ترتیب معرف ویسکوزیته سینماتیکی سیال و قطر الکترود سوزنی هستند. کارایی روش الکتروهیدرودینامیک به صورت نسبت گرمای لازم برای تبخیر آب به انرژی الکتریکی مصرف شده تعریف می‌شود.

$$P_e = \frac{(\dot{m} - \dot{m}_o).h_{fg}}{VI} \quad (14)$$

در رابطه فوق  $h_{fg}$  گرمای نهان تبخیر آب می‌باشد.

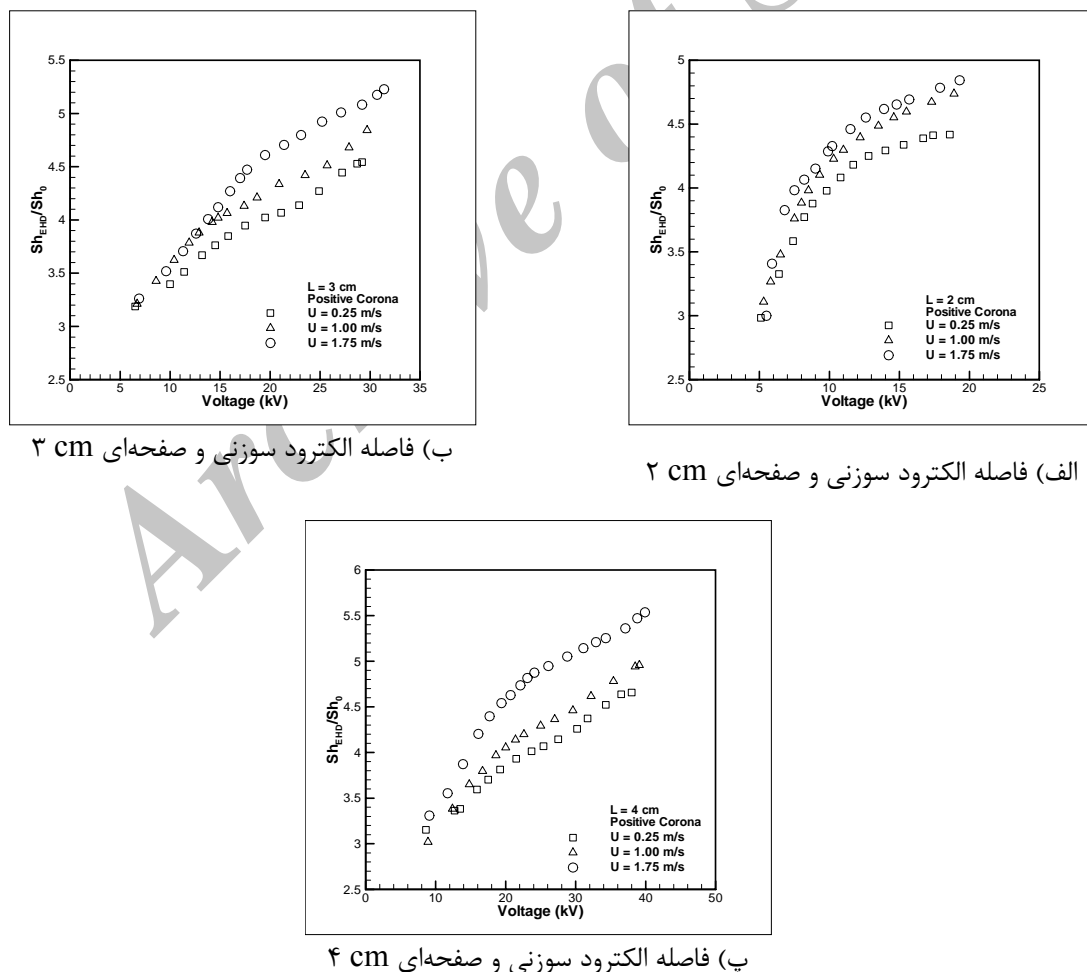
در آخر هم برای تعیین دقیق روابط داده شده از داده‌های آزمایشگاهی از خط رگرسیون متناسب با داده‌ها استفاده می‌کنیم که بصورت زیر تعریف می‌شود.

$$R^2 = 1 - \frac{SSE}{SST} \quad (15)$$

## ۵- نتایج آزمایشگاهی

به منظور ارائه نتایج و تعیین میزان بهبود تبخیر از نسبت اعداد بدون بعد شروود به صورت  $Sh / Sh_0$  استفاده می‌شود. عدد  $Sh$  بیانگر میزان تبخیر در حضور همزمان میدان الکتریکی و جریان هوای محوری است و  $Sh_0$  بیانگر میزان تبخیر تنها با اعمال جریان هوای محوری (بدون اعمال میدان الکتریکی) در شروع هر آزمایش است. بدین ترتیب تاثیر شرایط محیطی بر روی نرخ تبخیر به حداقل می‌رسد و عدد  $Sh / Sh_0$  به عنوان مبنای مناسب برای مقایسه نتایج در شرایط مختلف به کار می‌رود.

در شکل (۳) تغییرات بهبود نسبت بر حسب ولتاژ در تخلیه کرونا مثبت از الکترود سوزنی به قطر ۱ mm با اعمال جریان هوای محوری با سرعت‌های  $0/25$  ،  $0/00$  و  $1/75$  m/s و فواصل الکترودی  $2$  ،  $3$  و  $4$  cm آورده شده است. با افزایش ولتاژ بر میزان نسبت تبخیر افزوده شده است. افزایش فاصله بین الکترودها منجر به افزایش ولتاژ شکست و افزایش نسبت تبخیر در ولتاژ شکست می‌شود. به عنوان نمونه در سرعت هوای محوری  $1/75$  m/s با افزایش فاصله الکترودها از  $2$  cm به  $4$  cm در ولتاژ شکست کرونا تغییرات بهبود تبخیر  $12/52$  درصد افزایش دارد.

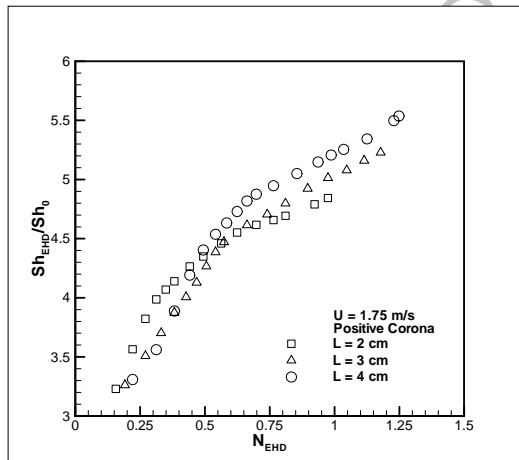


الف) فاصله الکترود سوزنی و صفحهای  $2\text{ cm}$   
ب) فاصله الکترود سوزنی و صفحهای  $3\text{ cm}$

شکل ۳ - تغییرات نسبت تبخیر بر حسب ولتاژ با تخلیه کرونا مثبت در سرعت‌های جریان هوای محوری و فواصل الکترودی متفاوت

در تمامی نمودارها نسبت تبخیر با افزایش ولتاژ افزایش می‌یابد. همچنین در یک فاصله الکتروودی و ولتاژ مشخص افزایش سرعت هوای محوری افزایش نسبت تبخیر را به دنبال دارد. زیرا با افزایش سرعت هوای محوری در یک ولتاژ مشخص بر شدت جریان الکتریکی بین دو الکتروود افزوده می‌شود. و افزایش شدت جریان متناسب با افزایش سرعت باد یونی و در نتیجه افزایش نسبت افزایش تبخیر را بدنبال دارد. بیشترین مقدار نسبت تبخیر در فاصله الکتروودی  $4 \text{ cm}$  در سرعت هوای محوری  $1/75 \text{ m/s}$  را به میزان  $5/5367$  به دست آمد.

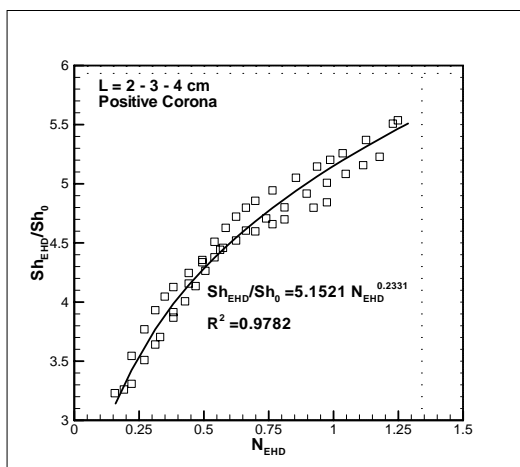
در شکل (۴) نمودارهای تغییرات نسبت تبخیر بر حسب عدد الکتروهیدرودینامیک در فواصل الکتروودی و سرعت های جریان هوای محوری متفاوت آورده شده است. همانطور که مشاهده می‌شود در تمامی فواصل الکتروودی روند تغییرات نسبت تبخیر تقریباً مشابه می‌باشد و این نتیجه تأییدی بر تاثیر غالب وزش باد یونی (نیروی کولمب) در افزایش نرخ تبخیر در اثر اعمال میدان الکتریکی است.



جریان هوای محوری با سرعت  $1/75 \text{ m/s}$

شکل ۴ - تغییرات نسبت تبخیر بر حسب عدد الکتروهیدرودینامیک با تخلیه کرونای ثابت در فواصل الکتروودی متفاوت

در سرعتهای هوای محوری مختلف تغییرات نسبت تبخیر بر حسب عدد الکتروهیدرودینامیک روندی به صورت زیر را دنبال می‌کنند. تغییرات نسبت تبخیر بر حسب عدد الکتروهیدرودینامیک برای سرعت هوای محوری  $1/75 \text{ m/s}$  و فواصل الکتروودی  $2 \text{ cm}$  تا  $4 \text{ cm}$  در شکل (۵) آورده شده است. نتیجه قابل توجهی که می-توان با توجه به این نمودارها به دست آوردن نزدیکی مقادیر بهبود تبخیر در فواصل الکتروودی مختلف می‌باشد. به عبارت دیگر می‌توان چنین نتیجه گرفت که تشدید تبخیر بر حسب عدد الکتروهیدرودینامیک در سرعت-های برابر و مستقل از سرعت جریان هوای محوری می‌باشد. با برآش داده‌های تجربی و عبور منحنی از میان آنها رابطه‌ای جهت محاسبه میزان نسبت تبخیر بر حسب عدد الکتروهیدرودینامیک به دست می‌آید.



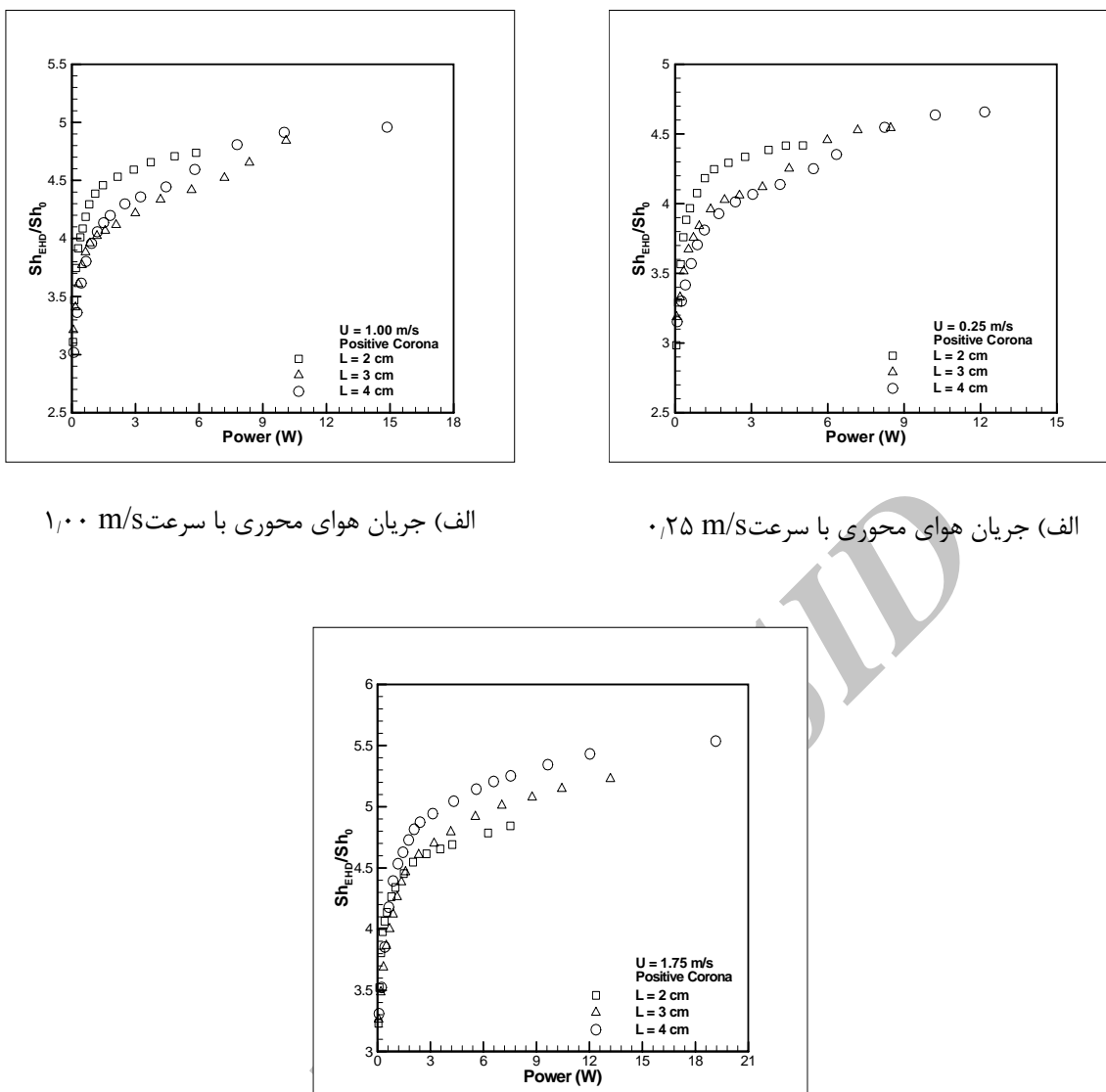
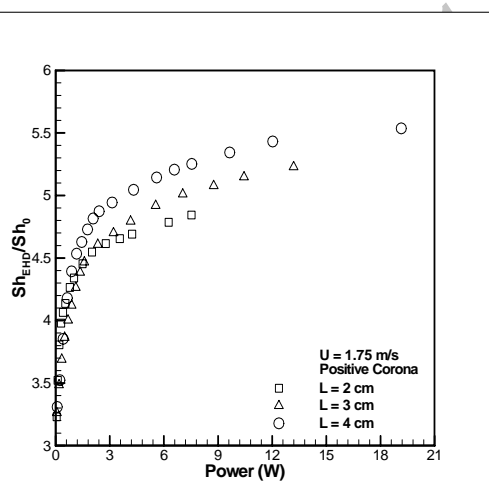
شکل ۵ - نسبت تبخیر در کرونا مثبت با استفاده از الکترود سوزنی به قطر ۱ mm

در جدول (۱) روابطی برای هر سه فاصله الکترودی در سرعت‌های حضور کرونا مثبت ارائه شده است که در شرایط محیطی  $T=20/1 \sim 22/3 {}^\circ\text{C}$  و  $\phi=16/4 \sim 20/2 \%$  به دست آمده است.

**جدول ۱** - روابط ارائه شده برای تک الکترود سوزنی با قطر 1 mm با فواصل الکترودی مختلف در جریان هوای محوری متفاوت با حضور کرونا مثبت

سرعت هوای محوری (m/s)	رابطه	$R^2$	
0.25	$Sh/Sh_0 = 2.6524 N_{EHD}^{0.2653}$	0.9643	(۱۶)
1.00	$Sh/Sh_0 = 4.2804 N_{EHD}^{0.2023}$	0.9895	(۱۷)
1.75	$Sh/Sh_0 = 5.1521 N_{EHD}^{0.2331}$	0.9782	(۱۸)

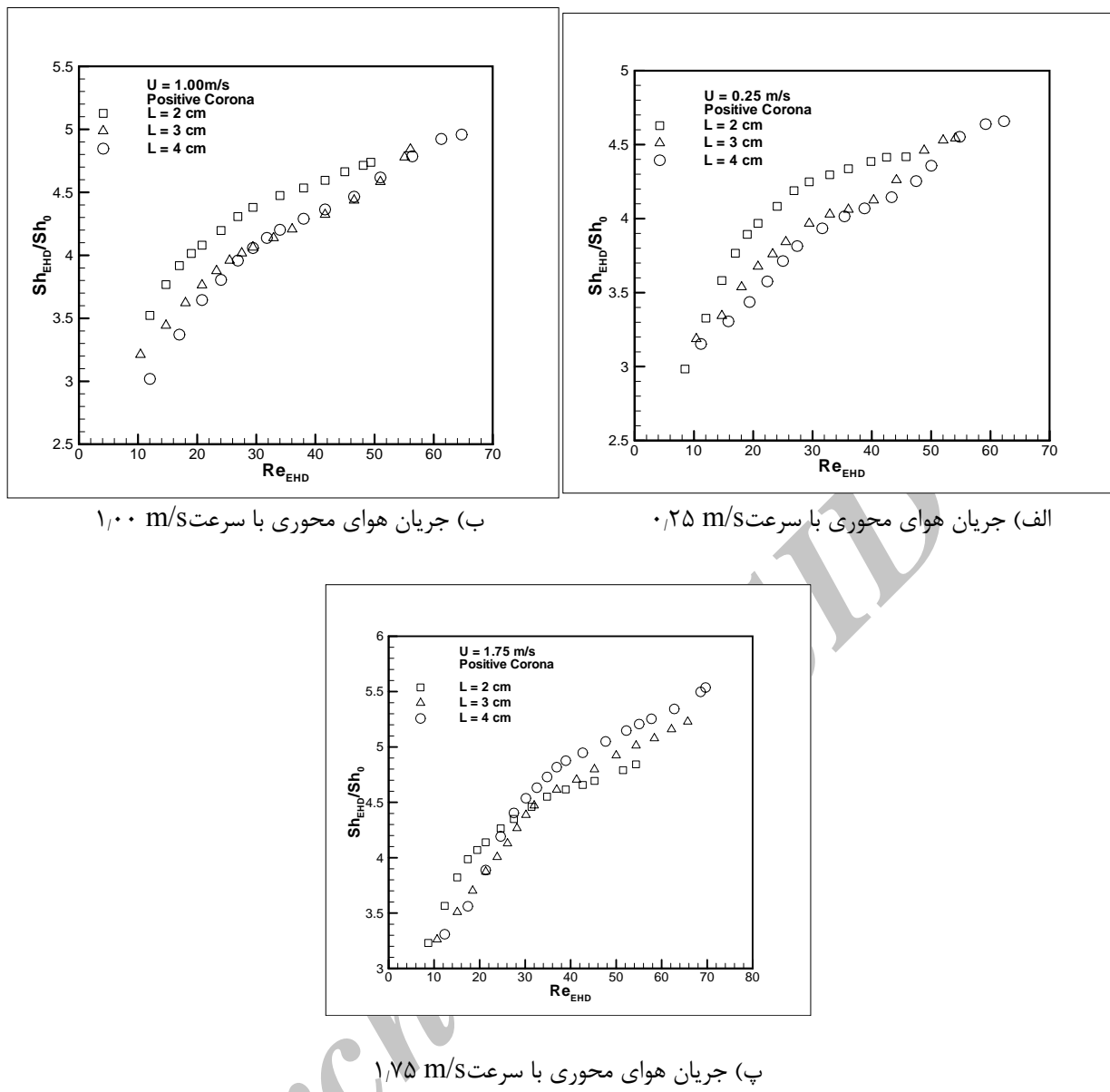
این روابط برای تمام فواصل الکترود سوزنی (۲-۴ cm) در یک سرعت هوای محوری مشخص قابل استفاده می‌باشد. در شکل (۶) نسبت تبخیر بر حسب توان الکتریکی مصرفی در تخلیه کرونا مثبت از الکترود سوزنی به قطر 1 mm با اعمال جریان هوای محوری با سرعت‌های ۰/۲۵ ، ۱/۰۰ و ۱/۷۵ m/s و فواصل الکترودی ۲ ، ۳ و ۴ cm آورده شده است.

الف) جریان هوا محوری با سرعت  $100 \text{ m/s}$ الف) جریان هوا محوری با سرعت  $0.25 \text{ m/s}$ الف) جریان هوا محوری با سرعت  $1.75 \text{ m/s}$ 

شکل ۶ - نسبت تبخیر بر حسب توان الکتریکی مصرفی با تخلیه کرونا مثبت در سرعت های جریان هوا محوری و فواصل الکترودی متفاوت

با افزایش توان الکتریکی مصرفی نسبت تبخیر در ابتدا با شبیه تندی افزایش می‌یابد ولی با افزایش بیشتر توان به تدریج از شبیه آن کاسته می‌شود و روند افزایشی بهبود با سرعت کمتری ادامه می‌یابد. مشاهده می‌شود که نسبت بهبود تبخیر در یک توان مصرفی مشخص در فواصل الکترودی مختلف نزدیک به هم است. لازم به یادآوری می‌باشد که در ولتاژ یکسان، کاهش فاصله الکترودها منجر به افزایش جریان الکتریکی و نسبت تبخیر می‌گردد. حال اگر I و V طوری تغییر کنند که حاصلضرب  $V \times I$  ثابت بماند نسبت تبخیر نیز ثابت می‌ماند.

در شکل (۷) نمودارهای تغییرات نسبت تبخیر بر حسب عدد رینولدز الکتروهیدرودینامیک برای کرونا مثبت از الکترود سوزنی به قطر  $1 \text{ mm}$  با اعمال جریان هوا محوری با سرعت‌های  $0.25$  ،  $100$  و  $175 \text{ m/s}$  و فواصل الکترودی  $2$  ،  $3$  و  $4 \text{ cm}$  آورده شده است.

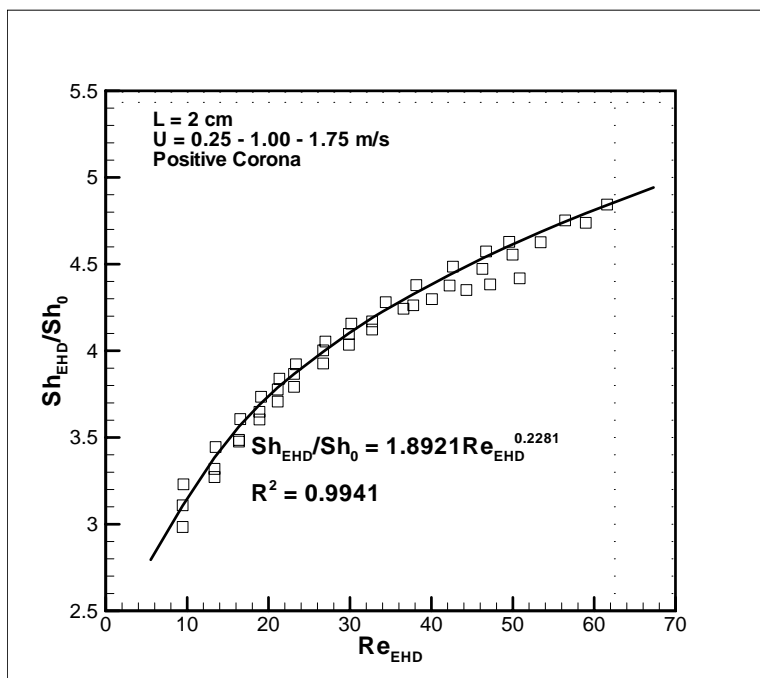


شکل ۷ - تغییرات نسبت بر حسب عدد رینولدز الکتروهیدرودینامیک با تخلیه کرونای مشتبث در سرعت‌های جریان هوا محوری و فواصل الکترودی مختلف

همانطور که مشاهده می‌شود مطابق انتظار با افزایش فواصل الکترودی و نیز با بالا رفتن شدت جریان که منجر به افزایش عدد رینولدز الکتروهیدرودینامیک می‌شود. نسبت تبخیر بیشتر می‌شود و این نتیجه نیز تائیدی بر تاثیر غالب وزش باد یونی (نیروی کولمب) در یک فاصله الکترودی ثابت در افزایش نرخ تبخیر با اعمال میدان الکتریکی می‌باشد. در هر سرعت‌های  $1/00 \text{ m/s}$  و  $1/75 \text{ m/s}$  هوا محوری تغییرات نسبت تبخیر بر حسب عدد رینولدز الکتروهیدرودینامیک روندی به صورت زیر را دنبال می‌کنند. تغییرات نسبت تبخیر بر حسب عدد رینولدز الکتروهیدرودینامیک برای فاصله الکترودی  $2 \text{ cm}$  در جریان هوا محوری با سرعت‌های  $1/75 \text{ m/s}$  تا  $0/25 \text{ m/s}$  در شکل (۸) آورده شده‌اند. نتیجه قابل توجهی که می‌توان با توجه به این نمودار به دست آورد نزدیکی مقادیر نسبت تبخیر در فواصل مختلف الکترودی می‌باشد. با برآذش داده‌های تجربی و عبور منحنی از میان آنها رابطه‌ای جهت محاسبه نسبت تبخیر بر حسب عدد رینولدز الکتروهیدرودینامیک

به دست می‌آید.

در جدول (۲) روابطی برای هر سه فاصله الکترودی در حضور کرونا مثبت ارائه شده است که در شرایط محیطی  $T=20/1 \sim 22/3^{\circ}\text{C}$  و  $\varphi=16/4 \sim 20/2\%$  به دست آمده است. هر یک از این روابط برای تمام سرعت‌های هوای محوری قابل استفاده می‌باشد.



شکل ۸ - نسبت تبخیر با استفاده از الکترود سوزنی به قطر ۱ mm برای فاصله الکترود ۲cm

**جدول ۲** - روابط ارائه شده برای تک الکترود سوزنی با قطر ۱ mm با اعمال جریان هوای محوری در فواصل الکترودی متفاوت با حضور کرونا مثبت

فاصله الکترود سوزنی و صفحه‌ای (cm)	رابطه	$R^2$	
2	$Sh/Sh_0 = 1.8921 Re_{EHD}^{0.2281}$	0.9941	(۱۹)
3	$Sh/Sh_0 = 17942 Re_{EHD}^{0.2493}$	0.9734	(۲۰)
4	$Sh/Sh_0 = 1.6641 Re_{EHD}^{0.2753}$	0.9852	(۲۱)

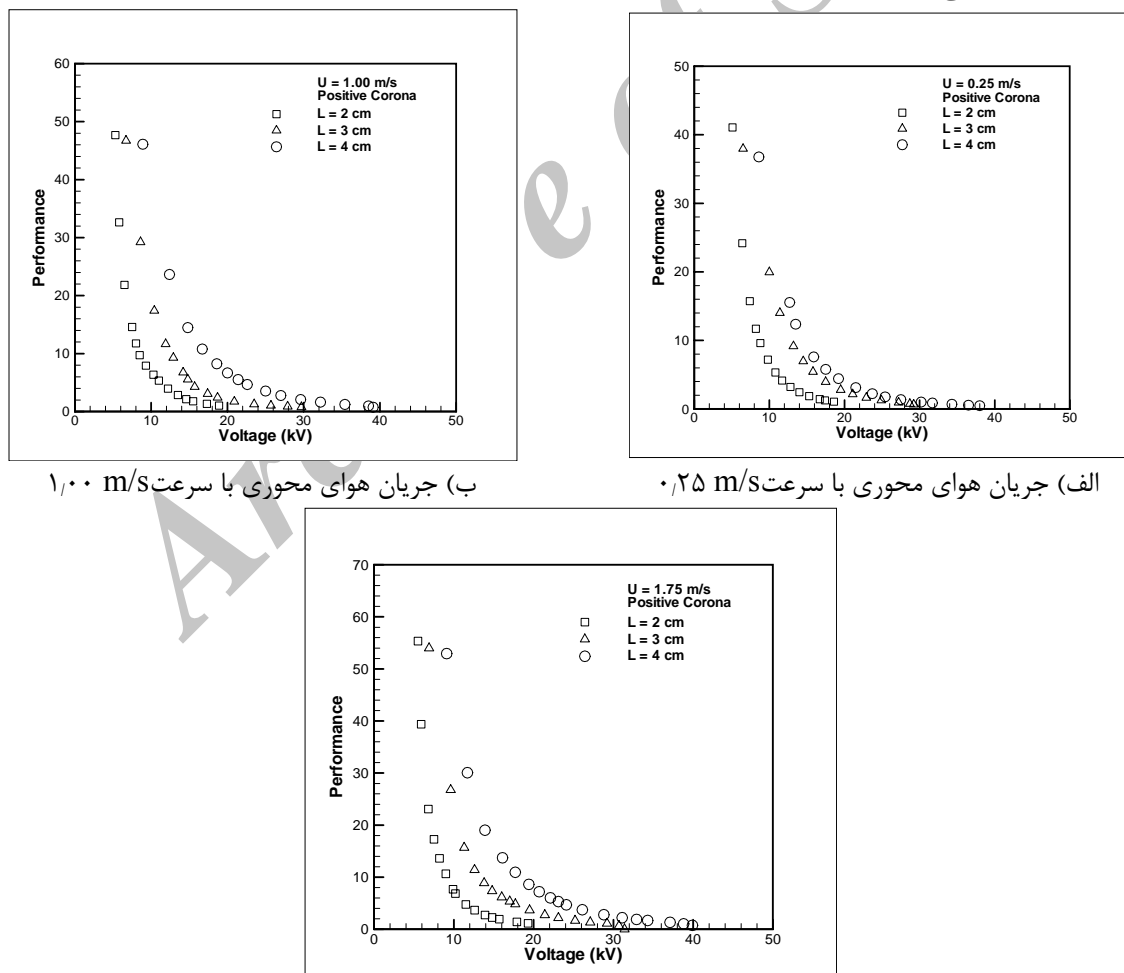
در شکل (۹) نمودارهای تغییرات کارایی بر حسب ولتاژ برای پلاستیکی مثبت با الکترود سوزنی به قطر ۱ با اعمال جریان هوای محوری با سرعت‌های  $0/25$  ،  $1/00$  و  $1/75\text{ m/s}$  و فواصل الکترودی  $2$  ،  $3$  ،  $4$  آورد شده است. مصرف انرژی الکتریکی در ولتاژ آستانه که منجر به تولید باد یونی می‌گردد بسیار کم و در حدود  $0/051$  تا  $0/093\text{ W}$  در محدوده فواصل الکترودی  $2$  تا  $4\text{ cm}$  می‌باشد. عامل اصلی بالاتر بودن قابل توجه کارایی در ولتاژهای اولیه، مصرف بسیار کم انرژی در شروع می‌باشد. شکل (۹) تغییرات کارایی بر حسب ولتاژ نشان می‌دهد. همانطور که مشاهده می‌شود در ولتاژهای اولیه افزایش تبخیر با شیب تنیدی صورت می‌گیرد

ولی با افزایش بیشتر ولتاژ از روند افزایشی آن کاسته می‌شود در حالی که با افزایش ولتاژ، توان مصرفی با شبی تندتری افزایش می‌یابد. در مجموع افزایش تاثیر اغتشاشات در افزایش تبخیر با افزایش ولتاژ و همچنین افزایش توان الکتریکی مصرفی دلایل کاهش کارایی با افزایش ولتاژ می‌باشد. نکته قابل توجه دیگری که می‌توان به آن اشاره کرد در ولتاژ یکسان، افزایش فوائل الکترودی موجب کاهش نسبت تبخیر می‌شود ولی افزایش فاصله موجب کاهش جریان الکتریکی و توان مصرفی نیز می‌گردد. بدین ترتیب افزایش فاصله الکترودها اگرچه موجب کاهش نسبت تبخیر می‌شود ولی کاهش بیشتر انرژی الکتریکی مصرفی موجب افزایش کارایی در فوائل الکترودی بیشتر می‌گردد.

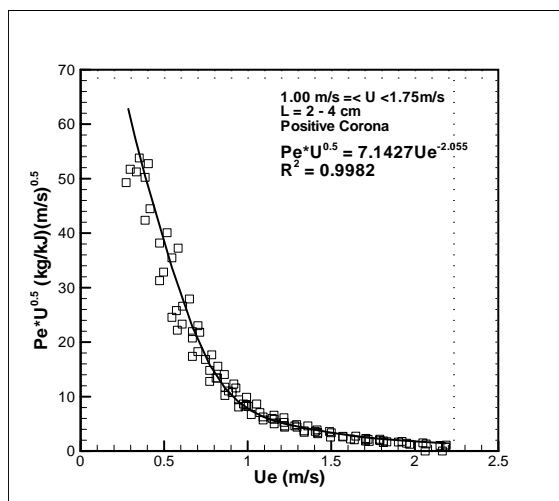
شکل (۱۰) کارایی کرونا مثبت را با استفاده از الکترود سوزنی به قطر ۱ mm در جریان هوای محوری با سرعت‌های بالاتر از  $1/100 \text{ m/s}$  نشان می‌دهد. به کمک برآذش داده‌های تجربی رابطه‌ای جهت محاسبه کارایی روش الکتروهیدرودینامیک بر حسب سرعت بادیونی و سرعت جریان هوای محوری به دست آورده شده است.

$$P_e = \frac{7.1427}{(U_e^{2.055} \times U^{0.5})} \quad 1.00 \text{ m/s} \leq U < 1.75 \text{ m/s} \quad (22)$$

این رابطه برای تمامی فوائل الکترودی مورد آزمایش و جریان‌های هوای محوری با سرعت‌های  $1/100 \text{ m/s}$  و  $1/75 \text{ m/s}$  معتبر می‌باشد.



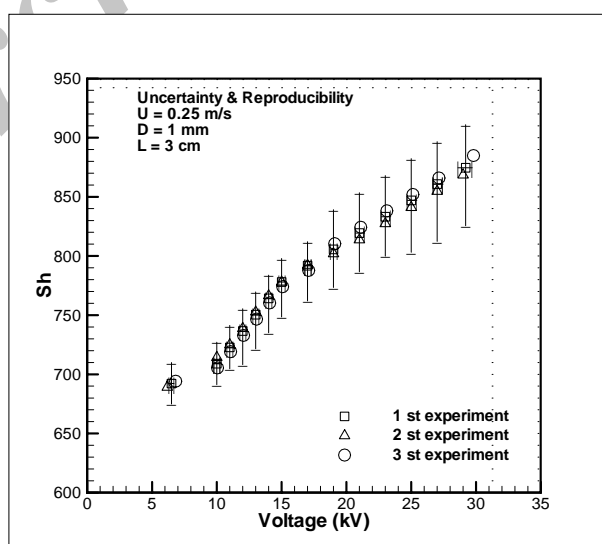
شکل ۹ - تغییرات کارایی بر حسب ولتاژ با تخلیه کرونا مثبت در سرعت‌های جریان هوای محوری و فوائل الکترودی متفاوت



نمودار ۱۰ - تغییرات کارایی کرونا مثبت بر حسب باد یونی برای سرعت‌های هوای  $100\text{ m/s}$  و  $175\text{ m/s}$

## ۶- تحلیل عدم قطعیت<sup>۱</sup>

با توجه به اینکه نتایج اصلی در بررسی افزایش نرخ تبخیر در حضور میدان الکتریکی بر حسب عدد شروود بیان شده‌اند به بررسی عدم قطعیت عدد شروود می‌پردازیم. برای محاسبه عدم قطعیت شروود کافی است مقادیر عدم قطعیت‌های سرعت هوا به میزان  $1\%$ ، دمای هوا به میزان  $20^\circ\text{C}$ ، رطوبت نسبی هوا به میزان  $1\%$ ، خطای اندازه‌گیری شدت جریان الکتریکی به میزان  $1\%$  و ولتاژ به میزان  $1\%$  خوانده شده و در محاسبات لحاظ کنیم. در شکل (۱۱) تحلیل عدم قطعیت و تکرار پذیری برای عدد شروود در سرعت هوای  $0.25\text{ m/s}$  و فاصله الکترودی  $3\text{ cm}$  نشان داده است. حداقل و حداقل عدم قطعیت محاسبه شده به ترتیب برابر  $1.4\%$  و  $0.8\%$  می‌باشند. چنانچه در نمودار مشاهده می‌شود تمامی داده‌ها در محدوده عدم قطعیت محاسبه شده قرار گرفته‌اند. علت افزایش پراکندگی بیشتر داده‌ها با افزایش ولتاژ نزدیک شدن به ولتاژ شکست می‌باشد.



شکل ۱۱ - بررسی عدم قطعیت و تکرار پذیری مقادیر شروود برای آزمایش‌های انجام شده

<sup>۱</sup> Uncertainty

## نتیجه‌گیری

افزایش فاصله الکتروودها موجب به تاخیر افتادن ولتاژ شروع کرونا و افزایش ولتاژ شکست می‌شود. در ولتاژ و فاصله الکتروودی ثابت با افزایش سرعت هوای محوری، جریان کرونا اندکی افزایش می‌یابد و به میزان تبخیر افزوده می‌شود.

افزایش فاصله الکتروودی در ولتاژ ثابت با کاهش جریان الکتریکی همراه بوده و موجب کاهش بهبود تبخیر می‌شود.

با افزایش سرعت جریان هوای محوری بر میزان تاثیر نسبی میدان الکتریکی بر تشديد تبخیر افزوده می‌شود به طوری که در نزدیکی ولتاژ شکست با افزایش سرعت هوای از  $0.25 \text{ m/s}$  تا  $1.75 \text{ m/s}$  میزان بهبود تبخیر تا  $18/86\%$  افزایش یافته و از  $46579$  به  $55367$  برابر می‌رسد.

استفاده از روش الکتروهیدرودینامیک با مصرف انرژی بسیار کم، افزایش قابل توجه تبخیر را به همراه دارد. به عنوان مثال با مصرف توان الکتریکی  $W = 0.51$  تشدیدی معادل  $44178$  برابر حاصل می‌شود.

افزایش فاصله الکتروودها در ولتاژ ثابت علیرغم اینکه موجب کاهش نسبت تبخیر می‌گردد، میزان کارایی روش الکتروهیدرودینامیک را افزایش می‌دهد.

نسبت تبخیر بر حسب عدد الکتروهیدرودینامیک در فواصل الکتروودی متفاوت تقریباً یکسان می‌باشد که بیانگر تاثیر غالب باد یونی (نیروی کولمب) در نسبت تبخیر است.

افزایش فاصله الکتروودی در ولتاژ ثابت موجب پایین آمدن جریان الکتریکی و در نتیجه باعث پایین آمدن عدد رینولدز الکتروهیدرودینامیک می‌شود و لذا موجب کاهش بهبود تبخیر می‌شود.

## مراجع

- [1] Kim, S.H., and Lee, K.W., "Experimental Study of Electrostatic Precipitator Performance and Comparison with Existing Theoretical Prediction Models", *J. Electrostatics*, Vol. 48, pp. 3-25, (1999).
- [2] Leonard, G., Mitchener, M., and Self, S. A., "An Experimental Study of the Electrohydrodynamics Flow in an Electrostatic Precipitators", *J. Fluid Mech.*, Vol. 127, pp. 123-140, (1983).
- [3] [www.siemens.com/Precipitator](http://www.siemens.com/Precipitator), (2008).
- [4] Laohalertdecha, S., Naphon, P., and Wongwises, S., "A Review of Electrohydrodynamic Enhancement of Heat Transfer", *Renewable and Sustainable Energy Reviews*, Vol. 11, pp. 858-876, (2007).
- [5] Brand, K., "Enhancement of External Condensation Heat Transfer with Electrohydrodynamic Induction Pumping", Mechanical Engineering Department, Texas A&M University, Ph.D. Thesis, (2002).

- [6] Sadek, H., Robinson, A.J., Cotton, J.S., Ching, C.Y., and Shoukri, M., "Electrohydrodynamic Enhancement of In-Tube Convective Condensation Heat Transfer", *Int. J. Heat Mass Transfer*, Vol. 49, pp. 1647–1657, (2006).
- [7] Butrymowicz, D., Trela, M., and Karwacki, J., "Enhancement of Condensation Heat Transfer by Means of EHD Condensate Drainage", *Int. J. Therm. Sci.*, Vol. 41, pp. 646–657, (2002).
- [8] Bologa, M.K., Savin, I.K., and Didkovsky, A.B., "Electric-field-induced Enhancement of Vapour Condensation Heat Transfer in the Presence of a Non-condensable Gas", *Int. J. Heat Mass Transfer*, Vol. 30, pp. 1558–77, (1987).
- [9] Bologa, M.K., and Didkovskiy, A.B., "Enhancement of Heat Transfer in Film Condensation of Vapors of Dielectric Liquids by Superposition of Electric Fields", *Heat Transfer Soviet Res.*, Vol. 9, pp. 147–51, (1997).
- [10] Bologa, M.K., Savin, I.K., and Didkovsky, A.B., "Electric-field-induced Enhancement of Vapour Condensation Heat Transfer in the Presence of a Non-condensable gas", *Int. J. Heat Mass Transfer*, Vol. 30, pp. 1577–85, (1987).
- [11] Bologa, M.K., Sajin, T.M., Kozhukhar, L.A., Klimov, S.M., and Motorin, O.V., "The Influence of Electric Fields on Basic Processes Connected with Physical Phenomena in Two-phase Systems", *Int. Conference on Conduction and Breakdown in Dielectric Liquid*, pp. 69–72, (1996).
- [12] Cheung, K., Ohadi, M.M., and Dessiatoun, S.V., "EHD-Assisted External Condensation of R-134a on Smooth Horizontal and Vertical Tubes", *Int. J. Heat Mass Transfer*, Vol. 42, pp. 1747–55, (1999).
- [13] Holmes, R.E., and Chapman, A.J., "Condensation of Freon-114 in the Presence of a Strong Nouniform Alternating Electric Field", *J. Heat Transfer*, Vol. 92, pp. 616–20, (1970).
- [14] Wawzyniak, M., and Seyed-Yagoobi, J., "Experimental Study of lectrohydrodynamically Augmented Condensation Heat Transfer on a Smooth and an Enhanced Tube", *J. Heat Transfer*, Vol. 118, pp. 499–502, (1996).
- [14] Sunada, K., Yabe, A., Taketani, T., and Yoshizawa, Y., "Experimental Study of EHD Pseudo-drop Wise Condensation", *Proc. ASME/JSME Thermal Eng.*, Vol. 3, pp. 61–7, (1991).
- [15] Moreau, E., Ger, L., and Touchard, G., "Effect of a DC Surface-corona Discharge on a Flat Plate Boundary Layer for Air Flow Velocity up to 25 m/s", *J. Electrostatics*, Vol. 64, pp. 215–225, (2006).
- [16] Leonard, G., Mitchener, M., and Self, S. A., "An Experimental Study of the Electrohydrodynamics Flow in an Electrostatic Precipitators", *J. Fluid Mech.* Vol. 127, pp. 123-140, (1983).

- [17] Alemrajabi, A., and Lai, F. C., "EHD-Enhanced Drying of Partially Wetted Glass Beads", *Drying Technology*, Vol. 23, pp. 597–609, (2005).
- [18] Laohalertdecha, S., and Wongwises, S., "Effects of EHD on Heat Transfer Enhancement and Pressure Drop During Two-phase Condensation of Pure R-134a at High Mass Flux in a Horizontal Micro-Fin Tube", *Experimental Thermal and Fluid Science*, Vol. 30, pp. 675–686, (2006).
- [19] Kalman, H., and Sher, E., "Enhancement of Heat Transfer by Means of a Corona Wind Created by a Wire Electrode and Confined Wings Assembly", *Appl. Thermal Eng.*, Vol. 21, pp. 265-282, (2001).
- [20] Kamkari, B., Alemrajabi, A.A., "Investigation of Electrohydrodynamically Enhanced Convective Heat and Mass Transfer from Water Surface", *Int. J. Heat Transfer Engineering*, Vol. 31, pp. 138–146, (2010).
- [21] Darabi, J., Ohadi, M.M., and Devoe, D., "An Electrohydrodynamic Polarization Micropump for Electronic Cooling", *J. Microelectromechanical Systems*, Vol. 10, pp. 98–106, (2001).
- [22] Barthakur, N.N., "Electrostatically Enhanced Evaporation Rates of Saline Water", *Desalination*, Vol. 74, pp. 339-353, (1989).
- [23] Lai, F.C., and Sharma, R.K., "EHD-Enhanced Drying with Multiple Needle Electrode", *J. Electrostatics*, Vol. 63, pp. 223–237, (2005),
- [24] Subir, R., "An Introduction to High Voltage Engineering", Prentice – Hall, New York, (2004).
- [25] Kuffel, E., Zaengl, W. S., and Kuffel, J., "High Voltage Engineering: Fundamentals", Newness, 2nd Edition, Jordan Hill, Oxford, London, (2000).
- [26] Kibler, K. G., and Carter, H. G., "Electrocooling of Gases", *J. Applied Physics*, Vol. 45, pp. 4436-4440, (1974).
- [۲۷] پناهی، م. "بررسی تجربی اثر شکل و هندسه الکترود بر نرخ تبخیرآب به روش الکتروهیدرودینامیکی (EHD)", پایان‌نامه کارشناسی ارشد، دانشگاه صنعتی اصفهان، دانشکده مکانیک، (۱۳۸۹).
- [28] Chaker, M., and Cyrus, B., "Inlet Fogging of Gas Turbine Engines—Part I: Fog Droplet Thermodynamics, Heat Transfer, and Practical Considerations", *J. Engineering for Gas Turbines and Power*, Vol. 126, pp. 545-558, (2004).

## فهرست نمادهای انگلیسی

- A : سطح مقطع الکترود صفحه ای ( $m^2$ )
- $A_e$  : سطح مقطع توnel باد ( $m^2$ )
- b : قابلیت تحرک یونی ( $1.43 \times 10^{-4} m^2 / V.s$ )
- $D_f$  : ضریب پخش جرمی مولکول های آب در هوا ( $m^2 / s$ )
- $D_L$  : طول مشخصه ( $m$ )
- E : شدت میدان الکتریکی ( $V/m$ )
- $F_e$  : نیروی حجمی الکتروهیدرودینامیکی ( $N/m^3$ )
- $h_m$  : ضریب انتقال جرم ( $m/s$ )
- I : شدت جریان الکتریکی ( $A$ )
- L : فاصله الکترودای ( $m$ )
- $\dot{m}_{eva}$  : میزان آهنگ تبخیر آب با اعمال میدان الکتریکی و جریان هوای محوری ( $kg_w / s$ )
- $\dot{m}_{eva_0}$  : میزان آهنگ تبخیر آب تنها در حضور جریان هوای محوری ( $kg_w / s$ )
- $\dot{m}_{dry\ air}$  : دبی جرمی هوای خشک ( $kg_a / s$ )
- $P_a$  : فشار هوا ( $Pa$ )
- $P_g$  : فشار بخار اشباع آب ( $Pa$ )
- Sh : عدد بی بعد شروود
- T : دمای میانگین هوای ( $^{\circ}C$ )
- U :  $(m/s)$
- $U_e$  :  $(m/s)$
- V :  $(V)$
- WBT : دمای حباب تر هوای ( $^{\circ}C$ )
- WBT : دمای حباب تر هوای ( $^{\circ}C$ )
- SSE : مجموع مجذور فاصله بین مقادیر واقعی
- SST : مجموع مجذور فاصله بین مقادیر واقعی و میانگین آنها
- $\omega$  : رطوبت مخصوص هوای ( $kg_w / kg_a$ )
- $\varphi$  : رطوبت نسبی هوای (%)
- $\varepsilon_0$  : ضریب نفوذپذیری الکتریکی خلاء ( $F / m$ )

**زیر نویس‌ها**

- 1 : مقطع ورودی تونل باد
- 2 : مقطع خروجی تونل باد
- 0 : مبنای سطح هوا بدون میدان الکتریکی

Archive of SID

## Abstract

Enhancement of forced flow evaporation rate by applying electric field (corona wind) has been experimentally evaluated in this study. Corona wind produced by a fine needle electrode which is charged with positive high DC voltage impinges to water surface and leads to evaporation enhancement by disturbing the saturated air layer over water surface. The study is focused on the effect of corona wind velocity, electrode spacing and air flow velocity on the level of evaporation enhancement. Two sets of experiments, i.e. with and without electric field, have been conducted. Data obtained from the first experiment are used as reference for evaluation of evaporation enhancement at the presence of electric field. The results show that Maximum enhancement ratio was 4.351 for air velocity of 1.75 m/s, respectively. The evaporation enhancement increases with increasing voltage and decreases with increasing the electrode spacing at a fixed voltage.

Archive of SID